

大阪洪積粘土の物理、力学的性質について

吳工業高等専門学校 正員 石井義明

1. まえがき

土の力学的性質は含水量、粘土成分含有量、自然堆積粘土では応力履歴の影響などにより異なる。また試験条件によっても得られた結果は異なるため、結果を逐一的に解釈することは危険もあり、データのバラツキの一因ともなる。そこで粘性土の微視的な構造の一助とするため、洪積粘土を用いて一軸圧縮試験、圧密試験を行なうとともに超音波伝播速度の測定を行なった。こゝで得た結果と液性限界や含水比など物理的性質との関係を報告する。

2 試料

用いた試料は大阪府大津市周辺で深さ36~150mより採取した不搅乱試料である。試料の物性は液性限界WL 36~110%，塑性限界Ip 16~39%，比重2.6~2.7の範囲にあった。

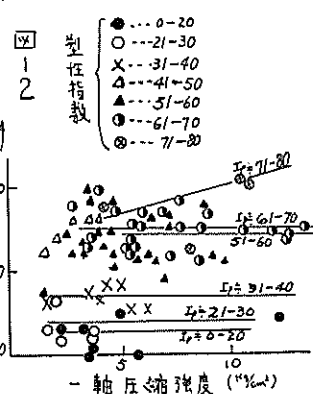
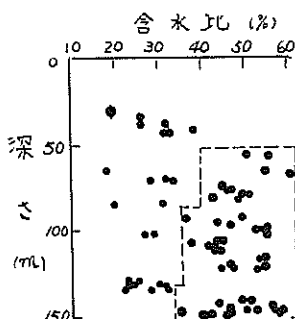
図-1はこの地盤の深さと自然含水比Wの関係を示したものである。図中破線で囲ったものは土質が粘土と判定された試料である。WL深さ50m以深の粘土については37~62%，シルトを試料については18~39%の範囲にあるが、両者とも深さにあまり関係なくほぼ一定である。

3 実験結果と方案

① 一軸圧縮強度特性について

含水比Wと一軸圧縮強度 σ_1 の間に半対数紙上で直線的な関係にあることは多くの文献で確かめられている。こゝでは試料のWの変化の範囲が小さいので、こゝらの関係と普通自盛にプロットし図-2に示した。粘性Iの強度密度、飽和度、構造骨格等の相違が影響するため、Wと σ_1 のみから、こゝらの関係をみるとバラツクことがあちこちある。そのため塑性指数Ipとバラテータとしてプロットした。しかし図-1のIpと多く得られないもので図のように7段階に分類した。プロット全体をみるとWの増加とともに σ_1 も大きくなる傾向にあり、従来の傾向と異った結果を得た。また同一のIpに対しIpの大きなもののほどWが大きく、Ipが71~80のものはWが増大とともに最も大きくなっている。しかしもは以外のものについてはWほとんど変化しないにもかかわらず σ_1 は増加している。

このような傾向を得た理由は明確でないが次のようにならう。すなはち図-1からも分るようにWが大きいものほど粘土成分が多いため、このため構造骨格やセメントーション等の影響があたられる。なぜなら粘土成分の少ない粒径の比較的大きい試料は単粒状の構造水と有しやすく、Wは粘土成分の多いものよりも少なく、かつ粒子間力の大きい場合は毛管圧力による。一方粘土成分の多い試料は粒径が小さく比表面積が大きく、電気化学的性質等のために大きな間隔の構造を形成しWは大きくなる。しかし堆積時間が地質学的年代にわたるためセメントーション等



による結合力が大きくなつたのでないかと考えられる。

b) 圧密特性について

洪積粘土の荷重沈下曲線で液性限界などが大きいものは図-3のようになり近傍で折れ曲るものが多い。これはカタクランデの手法により先行圧密荷重尼と求めの場合に不都合である。荷重沈下曲線は同一試料であっても荷重増加比によつて変化し、増が小さくなると反応大きくなる。これを *擬似先行圧密荷重* P_{sf} と呼んでいい。

これに同じデータはまだ不足であるが $\beta = 0.1$ と $\beta = 1.0$ (標準圧密)について得たものと図-4に示した深さ75.7-76.7の試料について注目すると、 $\beta = 0.1$ と $\beta = 1.0$ の差は直線的に増加している。

その他の試料についても同様な傾向にあるのではないアと考え、 $\beta = 0.1$ と $\beta = 1.0$ の差と直線で結んだ。直線ア否アはめりないが、直線的であるとみなしその勾配とみれば塑性指數 I_p が大きくなるほどを示す傾向があり、アが大きい試料ほどその影響が大きいと思われる。

差を小さくすることにより得られた P_{sf} と標準圧密によるとの関係は図は省略するが、それが大きければ $(P_{sf} - P_s)$ が大きくなる傾向にあつたが、バラツキが大きかった。その理由の一一つとして液性、塑性限界など土の物性が試料により異なることが考えられる。そのため $(P_{sf} - P_s)$ と塑性指數の関係とみたものが図-5である。図は比較的バラツキが少なく、アが大きいものほど擬似先行圧密荷重が大きくなる傾向を示している。

c) 超音波伝播速度の測定結果

地盤内と通過する弾性波の伝播速度より地盤強さや地質構造の調査などが近年広く行なわれるようになった。そこで一軸圧縮試験を行なう前に、供試体の超音波伝播速度を測定し、得られた縱波伝播速度 V_L 、横波伝播速度 V_S と一軸圧縮強度 σ_c の関係を図-6に示した。 V_L については μ が増加しても $1.5 \sim 1.6 \text{ km/sec}$ の範囲にあるが、 V_S については μ の増加とともに大きくなり土の強さと深い関連のあることを示している。

竹中では $\mu < 10\%$ 以下の試料の V_L は水中的速度 1.55 km/sec に等しく、 10% 以上になると V_L は μ に比例するとしている。今回用いた試料の μ が 10% 以下の方が多い、このため V_L はほとんど変化せず水の速度に近い値を示したものと考えられる。これは μ が 10% 以下の試料については、 V_L を用いて強度の推定を行うことの危険性を示すものである。

d) まとめ

以上のように大阪洪積粘土について二、三の実験を行ない、(1) μ に対する σ_c の減少とともに増大せず、もしろ大きくなる傾向にある。(2) 擬似先行圧密荷重は μ の大きくなると大きくなる。(3) $\mu = 10\%$ 以下の試料の V_L は水の速度にほぼ等しいが、 V_S については μ の増加とともに増大する、結果を得た。

参考文献、(1) 竹中謙之介: 土と基礎の調査と計測、昭38年度土工学会関西支部講習会テキスト、1967.

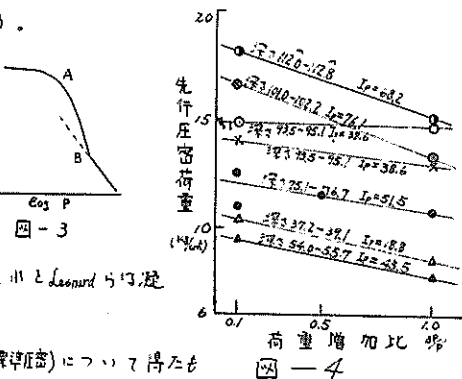


図-4

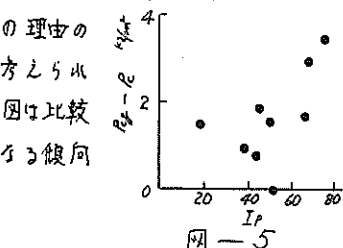


図-5

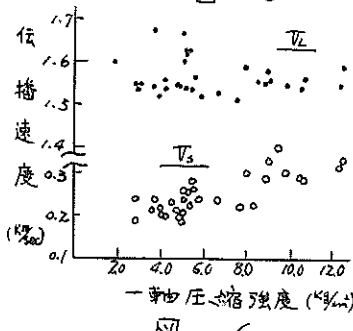


図-6